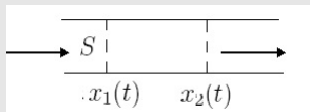


有限差分法

案例 4：一维激波管问题

- 1 一维激波管问题
 - 背景问题
 - 数学建模
 - 一维声波方程的若干理论
 - 有限差分方法
 - 算法设计与实现
 - 数值实验
 - 理论分析

设流体在一直长细管内流动, 细管的截面积为 S .



将 x 轴的正向取为水平方向向右, 设流体密度 ρ 、速度 u 和压力(强) p 仅与时间变量 t 和空间变量 x 有关, 即

$$\rho = \rho(x, t), \quad u = u(x, t), \quad p = p(x, t)$$

采用微元法进行分析.

对任意给定的时间 t , 考虑微元(“控制体”或“质团”)

$$I := [x_1(t), x_2(t)] \times S$$

下面利用质量、动量和能量守恒定律, 建立数学模型.

预备知识

对任意一阶连续可微函数 $f(x, t)$, 有恒等式

$$\frac{d}{dt} \left(\int_{x_1(t)}^{x_2(t)} f dx \right) = \int_{x_1(t)}^{x_2(t)} \left[\frac{\partial f}{\partial t} + \frac{\partial(fu)}{\partial x} \right] dx \quad (1)$$

事实上, 注意速度 $u(x(t), t) = x'(t)$, 则由数学分析可知: (1) 的左端为

$$\begin{aligned} & \int_{x_1(t)}^{x_2(t)} \frac{\partial f}{\partial t} dx + f(x_2(t), t) \cdot x_2'(t) - f(x_1(t), t) \cdot x_1'(t) \\ = & \int_{x_1(t)}^{x_2(t)} \frac{\partial f}{\partial t} dx + f(x_2(t), t) \cdot u(x_2(t), t) - f(x_1(t), t) \cdot u(x_1(t), t) \\ = & \int_{x_1(t)}^{x_2(t)} \left[\frac{\partial f}{\partial t} + \frac{\partial(fu)}{\partial x} \right] dx \end{aligned}$$

质量守恒(连续性)方程

质量守恒定律：控制体 I 中质团的质量不变，即

$$\frac{d}{dt} \left(S \int_{x_1(t)}^{x_2(t)} \rho dx \right) = 0 \Leftrightarrow \frac{d}{dt} \left(\int_{x_1(t)}^{x_2(t)} \rho dx \right) = 0$$

\Rightarrow (利用 (1), 其中 $f := \rho$)

$$\int_{x_1(t)}^{x_2(t)} \left[\frac{\partial \rho}{\partial t} + \frac{\partial(\rho u)}{\partial x} \right] dx = 0$$

由 $x_1(t), x_2(t)$ 的任意性, 可得(守恒微分形式的连续性方程)

$$\frac{\partial \rho}{\partial t} + \frac{\partial(\rho u)}{\partial x} = 0 \quad (2)$$

动量守恒(运动)方程

动量守恒定律：合力做的冲量=动量的变化

从 t 到 $t + \Delta t$:

质团的界面 $x_1(t)$ 和 $x_2(t)$ 处的压力差产生的冲量为

$$\Delta t \cdot S(p(x_1(t), t) - p(x_2(t), t)) = -\Delta t \cdot S \int_{x_1(t)}^{x_2(t)} \frac{\partial p}{\partial x} dx$$

质团的动量 $S \int_{x_1(t)}^{x_2(t)} \rho u dx$ 的变化为

$$S \left(\int_{x_1(t+\Delta t)}^{x_2(t+\Delta t)} \rho u dx - \int_{x_1(t)}^{x_2(t)} \rho u dx \right)$$

所以由动量守恒定律可知

$$-\Delta t \int_{x_1(t)}^{x_2(t)} \frac{\partial p}{\partial x} dx = \int_{x_1(t+\Delta t)}^{x_2(t+\Delta t)} \rho u dx - \int_{x_1(t)}^{x_2(t)} \rho u dx$$

令 $\Delta t \rightarrow 0$, 则有

$$-\int_{x_1(t)}^{x_2(t)} \frac{\partial p}{\partial x} dx = \frac{d(\int_{x_1(t)}^{x_2(t)} \rho u dx)}{dt}$$

利用 (1) (其中 $f := \rho u$), 则可得

$$\int_{x_1(t)}^{x_2(t)} \left[\frac{\partial(\rho u)}{\partial t} + \frac{\partial(\rho u^2 + p)}{\partial x} \right] dx = 0$$

由 $x_1(t)$ 和 $x_2(t)$ 的任意性, 可得(守恒微分形式的运动方程)

$$\frac{\partial(\rho u)}{\partial t} + \frac{\partial(\rho u^2 + p)}{\partial x} = 0 \quad (3)$$

能量方程

能量守恒定律：外力所作的功=能量的变化率

压力 $p(x_1(t), t)$ 和 $p(x_2(t), t)$ 对质团所作的功为

$$p(x_1(t), t) \cdot S \cdot u(x_1(t), t) - p(x_2(t), t) \cdot S \cdot u(x_2(t), t) = -S \int_{x_1(t)}^{x_2(t)} \frac{\partial(pu)}{\partial x} dx$$

注意单位质量流体所含的能量

$$E = e + \frac{1}{2} u^2$$

其中, e 为内能, $\frac{1}{2} u^2$ 为动能. 所以质团总能量为

$$\int_{x_1(t)}^{x_2(t)} S \rho E dx = S \int_{x_1(t)}^{x_2(t)} \rho E dx$$

由能量守恒定律, 有

$$-\int_{x_1(t)}^{x_2(t)} \frac{\partial(\rho u)}{\partial x} dx = \frac{d}{dt} \int_{x_1(t)}^{x_2(t)} \rho E dx$$

利用 (1) (其中 $f := \rho E$), 有

\Rightarrow

$$\int_{x_1(t)}^{x_2(t)} \left(\frac{\partial \rho E}{\partial t} + \frac{\partial(u(\rho E + p))}{\partial x} \right) dx = 0.$$

\Rightarrow (守恒微分形式的能量方程)

$$\frac{\partial(\rho E)}{\partial t} + \frac{\partial(u(\rho E + p))}{\partial x} = 0 \quad (4)$$

联立(2), (3) 和 (4), 可得

$$\begin{aligned}\frac{\partial \rho}{\partial t} + \frac{\partial(\rho u)}{\partial x} &= 0 \\ \frac{\partial(\rho u)}{\partial t} + \frac{\partial(\rho u^2 + p)}{\partial x} &= 0 \\ \frac{\partial(\rho E)}{\partial t} + \frac{\partial(u(\rho E + p))}{\partial x} &= 0\end{aligned}$$

上述方程组中只有三个方程, 但含有四个未知量 ρ, u, p, E 或 ρ, u, p, e , 因此还不够成一个封闭系统.

为了求解出 ρ, u, p, E 四个未知量, 还需要加入状态方程. 特别对理想气体其状态方程为

$$p = (\gamma - 1)\rho e$$

其中 $\gamma > 1$ 表绝热指数 (比热比).

进一步, 若还是完全理想气体均熵(或等熵)流, 则其状态方程可简化为

$$p = c\rho^\gamma$$

其中 c 为一正常数.

由此, 并联立连续性和运动方程, 则流体方程可简化为

$$\begin{cases} \frac{\partial \rho}{\partial t} + \frac{\partial(\rho u)}{\partial x} = 0 \\ \frac{\partial(\rho u)}{\partial t} + \frac{\partial}{\partial x}(\rho u^2 + p) = 0 \\ p = c\rho^\gamma \end{cases}$$

若在初始时刻还假设:

- 1) 管内流体是均匀气体且是静止的: $u(x, 0) = u_0 = 0$, 密度 $\rho_0 := \rho(x, 0)$, 压强 $p_0 := p(x, 0)$ 和声速 c_0 均为常数;
- 2) 气体做微小扰动;

则可导出如下一维声波方程

$$\begin{cases} \frac{\partial \rho}{\partial t} + \rho_0 \frac{\partial u}{\partial x} = 0 \\ \frac{\partial u}{\partial t} + \frac{c_0^2}{\rho_0} \frac{\partial \rho}{\partial x} = 0 \end{cases}$$

\Leftrightarrow

$$\frac{\partial U}{\partial t} + A \frac{\partial U}{\partial x} = 0 \quad (5)$$

其中

$$A = \begin{pmatrix} 0 & \frac{c_0^2}{\rho_0} \\ \rho_0 & 0 \end{pmatrix}, \quad U = \begin{pmatrix} u \\ \rho \end{pmatrix} \quad (6)$$

关于一维声波方程的初边值问题提法, 以及相应适定性理论, 后面将做专题讨论.

特征与 Riemann 不变量

考虑一维声波方程 (5).

由于 A 的两个特征值

$$\lambda_1 = -c_0, \quad \lambda_2 = c_0$$

所以 (5) 是 (狭义) 双曲方程组.

λ_1 和 λ_2 所对应的左特征行向量分别为

$$\alpha_1 = (\rho_0, -c_0), \quad \alpha_2 = (\rho_0, c_0)$$

将 $\alpha_i, i = 1, 2$ 作用于方程 (5) 两端, 得

$$\alpha_i \frac{\partial U}{\partial t} + \alpha_i A \frac{\partial U}{\partial x} = 0$$

\Leftrightarrow

$$\alpha_i \frac{\partial U}{\partial t} + \lambda_i \alpha_i \frac{\partial U}{\partial x} = 0$$

\Leftrightarrow

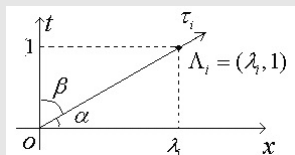
$$\alpha_i \left(\frac{\partial U}{\partial t} + \lambda_i \frac{\partial U}{\partial x} \right) = 0 \quad (7)$$

令特征方向:

$$\Lambda_i := (\lambda_i, 1), \quad i = 1, 2$$

则单位特征方向

$$\tau_i := \frac{\Lambda_i}{|\Lambda_i|} = \frac{1}{\sqrt{\lambda_i^2 + 1}}(\lambda_i, 1) := (\cos \alpha, \cos \beta)$$



注意

$$\begin{aligned}
 \frac{\partial U}{\partial \tau_i} &= \cos \alpha \frac{\partial U}{\partial x} + \cos \beta \frac{\partial U}{\partial t} \\
 &= \left(\frac{\partial U}{\partial x}, \frac{\partial U}{\partial t} \right) (\cos \alpha, \cos \beta)^T \\
 &= \left(\frac{\partial U}{\partial x}, \frac{\partial U}{\partial t} \right) \frac{(\Lambda_i)^T}{|\Lambda_i|} \\
 &= \frac{1}{|\Lambda_i|} \left(\lambda_i \frac{\partial U}{\partial x} + \frac{\partial U}{\partial t} \right)
 \end{aligned}$$

\Leftrightarrow

$$\frac{\partial U}{\partial t} + \lambda_i \frac{\partial U}{\partial x} = |\Lambda_i| \frac{\partial U}{\partial \tau_i}$$

由此, 并结合 (7), 可得

$$\alpha_i \frac{\partial U}{\partial \tau_i} = 0, \quad i = 1, 2$$

\Leftrightarrow

$$\frac{\partial r_i}{\partial \tau_i} = 0, \quad i = 1, 2 \quad (8)$$

其中

$$r_1 = \alpha_1 U = \rho_0 u - c_0 \rho, \quad r_2 = \alpha_2 U = \rho_0 u + c_0 \rho \quad (9)$$

由 (8) 可知:

① 当 (x, t) 落在斜率为

$$\frac{dt}{dx} = \frac{1}{\lambda_1} = -\frac{1}{c_0}$$

的某条特征线时 r_1 为常数.

② 当 (x, t) 落在斜率为

$$\frac{dt}{dx} = \frac{1}{\lambda_2} = \frac{1}{c_0}$$

的某条特征线时 r_2 为常数.

称由 (9) 定义的 r_1, r_2 为一维声波方程 (5) 的 **Riemann 不变量**.

初边值问题的适定性

考虑一维声波方程的初边值问题

$$\begin{cases} \frac{\partial U}{\partial t} + A \frac{\partial U}{\partial x} = 0, & (x, t) \in G \\ U(x, 0) = U_0(x) = (0, \rho_0)^T, & 0 \leq x \leq 1 \\ U(0, t) = ?, & U(1, t) = ? \end{cases} \quad (10)$$

其中, A 由 (6) 定义, 求解域 $G = (0, 1) \times (0, T)$.

问: 在什么样的边界条件下, 初边值问题(10) 是适定的.

下面利用特征与 Riemann 不变量理论回答之.

初边值问题的适定性

注意 对于任一点 $P(x, t)$, 有

- ① 在过该点且斜率为

$$\frac{dt}{dx} = \frac{1}{\lambda_1} = -\frac{1}{c_0}$$

的特征线 1 上, $r_1 = \rho_0 u - c_0 \rho$ 为常数.

- ② 在过该点且斜率为

$$\frac{dt}{dx} = \frac{1}{\lambda_2} = \frac{1}{c_0}$$

的特征线 2 上, $r_2 = \rho_0 u + c_0 \rho$ 为常数.

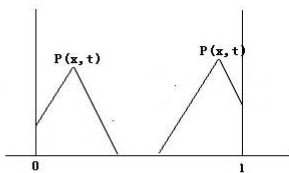
初边值问题的适定性

由于当点 $P(x, t)$ 充分靠近左边界时, 过该点的特征线 2 穿过左边界, 所以为了使得问题适定, 需要在左边界上加上限制条件

$$r_2 = \rho_0 u + c_0 \rho = \text{已知值}$$

同理, 为了使得问题适定, 需要在右边界上加上限制条件

$$r_1 = \rho_0 u - c_0 \rho = \text{已知值}$$



初边值问题的适定性

综上所述: 一维声波方程初边值问题

$$\left\{ \begin{array}{l} \frac{\partial U}{\partial t} + A \frac{\partial U}{\partial x} = 0, \quad (x, t) \in G \\ U(x, 0) = U_0(x) = (0, \rho_0)^T \\ r_2(0, t) = \text{已知值} \\ r_1(1, t) = \text{已知值} \end{array} \right. \quad (11)$$

满足适当性.

下面讨论如何利用有限差分法数值求解该问题.

双曲型方程与椭圆型方程的区别

与椭圆型方程不同, 双曲型方程具有如下特性:

- ① 特征和特征关系;
- ② 初值函数的函数性质 (如间断、弱间断) 沿特征传播, 所以解一般没有光滑性;
- ③ 解对初值局部依赖.

因此在建立双曲型方程的差分格式时, 要充分考虑这些特性.

特征方法

由前面分析知：一维声波方程

$$\frac{\partial U}{\partial t} + A \frac{\partial U}{\partial x} = 0$$

\Leftrightarrow (见(8) 和 (9))

$$\frac{\partial r_i}{\partial \tau_i} = 0 \Leftrightarrow \cos \alpha \frac{\partial r_i}{\partial x} + \cos \beta \frac{\partial r_i}{\partial t} = 0$$

\Leftrightarrow

$$\frac{1}{\sqrt{\lambda_i^2 + 1}} \left(\lambda_i \frac{\partial r_i}{\partial x} + \frac{\partial r_i}{\partial t} \right) = 0 \Leftrightarrow \frac{\partial r_i}{\partial t} + \lambda_i \frac{\partial r_i}{\partial x} = 0$$

其中 $\lambda_{1,2} = \mp c_0$ 为常量.

由此可知: 一维声波方程初边值问题(11), 可化为如下两个独立的标量型双曲方程

$$\begin{cases} \frac{\partial r_1}{\partial t} - c_0 \frac{\partial r_1}{\partial x} = 0 \\ r_1(x, 0) = \rho_0 u(x, 0) - c_0 \rho(x, 0) = -c_0 \rho_0 \\ r_1(1, t) = \text{已知值} \end{cases} \quad (12)$$

和

$$\begin{cases} \frac{\partial r_2}{\partial t} + c_0 \frac{\partial r_2}{\partial x} = 0 \\ r_2(x, 0) = \rho_0 u(x, 0) + c_0 \rho(x, 0) = c_0 \rho_0 \\ r_2(0, t) = \text{已知值} \end{cases} \quad (13)$$

结论: 一维声波方程的求解问题, 可本质性地转换为如下一阶双曲型方程的求解.

$$\begin{cases} \frac{\partial u}{\partial t} + a \frac{\partial u}{\partial x} = 0, (x, t) \in G \\ u(x, 0) = u_0(x) \\ u(0, t) = \phi_0(t), \text{ 如果 } a > 0; u(1, t) = \phi_1(t), \text{ 如果 } a < 0 \end{cases} \quad (14)$$

其中, 求解域 $G := \{(x, t) : 0 < x < 1; 0 < t \leq T\}$, u_0, ϕ_0, ϕ_1 为已知函数,

常量 $a \leftrightarrow$ 特征值 λ_i ; 方向 $(a, 1) \leftrightarrow$ 特征方向 $(\lambda_i, 1)$

函数 $u \leftrightarrow$ Riemann 不变量 r_i , 其在平行于特征方向 $(a, 1)$ 的特征线上为常量.

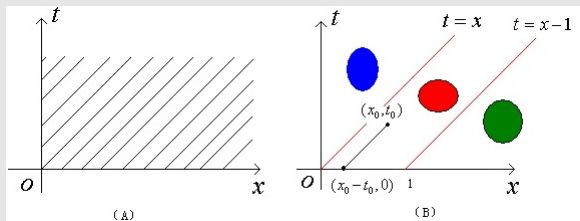
例 1: 试证明混合问题

$$\begin{cases} \frac{\partial u}{\partial t} + \frac{\partial u}{\partial x} = 0, & 0 < x < 2, \quad t > 0 \\ u(x, 0) = |x - 1|, & u(0, t) = 1 \end{cases} \quad (15)$$

的真解为: 对 $\forall t > 0$, 有

$$u(x, t) = \begin{cases} 1, & x \leq t, \\ 1 - (x - t), & t < x \leq t + 1, \\ (x - t) - 1, & x > t + 1 \end{cases} \quad (16)$$

证明. 注意: 特性方向为 $(1, 1)$, 下图 (A) 给出了平行于特征方向的特征线族. 分别记 $t = x$ 和 $t = x - 1$ 为直线 1 和 直线 2, 下图 (B) 给出了由这两条直线划分的三个子区域.



利用 u 在特征线上为常量, 则对 $\forall t_0 > 0$, 有

$$u(x_0, t_0) = \begin{cases} u(0, t_0) = 1, & x_0 \leq t_0, \\ u(x_0 - t_0, 0) = 1 - (x_0 - t_0), & t_0 < x_0 \leq t_0 + 1, \\ u(x_0 - t_0, 0) = (x_0 - t_0) - 1, & x_0 > t_0 + 1, \end{cases}$$

直接差分方法

下面讨论求解一阶双曲型方程 (14) 的有限差分格式.

对求解域 $G = (0, 1) \times (0, T]$ 作均匀网格剖分.

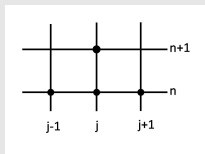
节点:

$$x_j = jh, \quad j = 0, 1, \dots, N$$

$$t_k = k\tau, \quad k = 0, 1, \dots, M$$

其中空间和时间步长: $h = \frac{1}{N}$, $\tau = \frac{T}{M}$.

考虑网格点 (x_j, t_n) 处的微分方程: $\frac{\partial u}{\partial t} + a \frac{\partial u}{\partial x} = 0$.



自然有三种两层显式差分格式

$$\frac{u_j^{n+1} - u_j^n}{\tau} + a \frac{u_j^n - u_{j-1}^n}{h} = 0 \quad \text{如果 } a > 0, \text{ 为迎风格式} \quad (17)$$

$$\frac{u_j^{n+1} - u_j^n}{\tau} + a \frac{u_{j+1}^n - u_j^n}{h} = 0 \quad \text{如果 } a < 0, \text{ 为迎风格式} \quad (18)$$

$$\frac{u_j^{n+1} - u_j^n}{\tau} + a \frac{u_{j+1}^n - u_{j-1}^n}{2h} = 0 \quad (19)$$

截断误差分别为

$$O(\tau + h), O(\tau + h), O(\tau + h^2)$$

记网比 $r = a\frac{\tau}{h}$, 则 (17), (18) 和 (19) 分别等价于

$$u_j^{n+1} = ru_{j-1}^n + (1-r)u_j^n \quad (20)$$

$$u_j^{n+1} = (1+r)u_j^n - ru_{j+1}^n \quad (21)$$

$$u_j^{n+1} = u_j^n + \frac{r}{2}(u_{j-1}^n - u_{j+1}^n) \quad (22)$$

积分守恒差分格式

考察拟线性守恒型 (或散度型) 微分方程:

$$\frac{\partial u}{\partial t} + \frac{\partial f(u)}{\partial x} = 0 \quad (23)$$

设 G 是 x, t 平面任一有界域, 利用 Green 公式, 有(其中 $\Gamma = \partial G$)

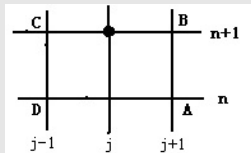
$$\int_G \left(\frac{\partial u}{\partial t} + \frac{\partial f(u)}{\partial x} \right) dx dt = \int_{\Gamma} (f(u), u) \cdot \vec{n} ds = 0$$

\Leftrightarrow

$$\int_{\Gamma} (f(u), u) \cdot \vec{n} ds = 0 \quad (24)$$

(1) Lax 格式 (显格式)

设网格如下图所示



取 G 为以 $A(j+1, n)$, $B(j+1, n+1)$, $C(j-1, n+1)$ 和 $D(j-1, n)$ 为顶点的矩形, $\Gamma = \widehat{ABCD}$ 为其边界.

则由 (24), 有

$$\left(\int_{DA} + \int_{AB} + \int_{BC} + \int_{CD}\right)(f(u), u) \cdot \vec{n} ds = 0 \quad (25)$$

注意在直线 DA 上 $\vec{n} = (0, -1)$, $ds = dx$, 所以

$$\int_{DA} (f(u), u) \cdot \vec{n} ds = \int_{DA} (f(u), u) \cdot (0, -1) dx = \int_{DA} -u dx$$

类似的可得

$$\begin{aligned} \int_{AB} (f(u), u) \cdot \vec{n} ds &= \int_{AB} (f(u), u) \cdot (1, 0) dt = \int_{AB} f(u) dt \\ \int_{BC} (f(u), u) \cdot \vec{n} ds &= \int_{BC} (f(u), u) \cdot (0, 1)(-dx) = \int_{BC} u(-dx) \\ \int_{CD} (f(u), u) \cdot \vec{n} ds &= \int_{CD} (f(u), u) \cdot (-1, 0)(-dt) = \int_{CD} -f(u)(-dt) \end{aligned}$$

这样由 (25) 可得

$$-\int_{DA} u dx + \int_{AB} f(u) dt - \int_{BC} u dx + \int_{CD} f(u) dt = 0 \quad (26)$$

对 (26) 的左端各个积分项分别采用如下数值积分公式:

$$-\int_{DA} u dx \approx -\frac{1}{2}(u_{j+1}^n + u_{j-1}^n) \cdot 2h \quad (\text{梯形公式})$$

$$-\int_{BC} u dx \approx -u_j^{n+1} \int_{BC} dx = u_j^{n+1} \cdot 2h \quad (\text{中矩形公式})$$

$$\int_{AB} f(u) dt \approx f(u_{j+1}^n) \cdot \tau \quad (\text{下矩形公式})$$

$$\int_{CD} f(u) dt \approx -f(u_{j-1}^n) \cdot \tau \quad (\text{下矩形公式})$$

将上述近似式代入 (26), 则可得 Lax (Lax-Friedrichs) 格式

$$\frac{u_j^{n+1} - \frac{1}{2}(u_{j+1}^n + u_{j-1}^n)}{\tau} + \frac{f_{j+1}^n - f_{j-1}^n}{2h} = 0$$

它可改写为 (其中 $f_j^n = f(x_j, u_j^n)$, $r = \frac{\tau}{h}$)

$$u_j^{n+1} = \frac{1}{2}(u_{j+1}^n + u_{j-1}^n) - \frac{r}{2}(f_{j+1}^n - f_{j-1}^n) \quad (27)$$

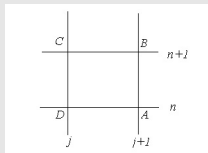
可以证明 Lax-Friedrichs 格式截断误差的阶为

$$O(\tau + h^2)$$

特别当 $f(u) = au$ 时, 可得到一阶双曲型方程 (14) 的 Lax 格式.

(2) Box 格式 (隐格式)

取 G 为以 $A(j, n)$, $B(j, n+1)$, $C(j-1, n+1)$ 和 $D(j-1, n)$ 为顶点的矩形, 记 $\Gamma = \widehat{ABCD}$ 为其边界.



则由 (24), 及类似于Lax 格式的推导 (各项积分均用梯形公式进行近似), 可得

$$\frac{u_j^{n+1} - u_j^n}{\tau} + \frac{u_{j-1}^{n+1} - u_{j-1}^n}{\tau} + \frac{f_j^n - f_{j-1}^n}{h} - \frac{f_j^{n+1} - f_{j-1}^{n+1}}{h} = 0 \quad (28)$$

其截断误差为 $O(\tau^2 + h^2)$.

黏性差分格式

黏性差分格式的构造分两步.

- 1 通过引入含二阶空间偏导数的小参数项 (称为**黏性项**), 使双曲型方程成为一带小参数的抛物方程.
- 2 利用中心差商代替导数, 选取小参数 (粘性系数), 建立相应的差分格式.

下面对于线性模型问题 (14), 给出该格式的构造过程.

引入黏性项, 使得 (14) 成为如下带小参数的抛物方程

$$\frac{\partial u}{\partial t} + a \frac{\partial u}{\partial x} = \varepsilon \frac{\partial^2 u}{\partial x^2}, \quad \varepsilon > 0$$

特别, 取 $\varepsilon = \frac{h}{2} |a(x)|$, 并利用中心差商代替偏导数, 可得格式 (称为 Lax-wendroff 格式)

$$\frac{u_j^{n+1} - u_j^n}{\tau} + a_j \frac{u_{j+1}^n - u_{j-1}^n}{2h} = \frac{h}{2} |a_j| \frac{u_{j+1}^n - 2u_j^n + u_{j-1}^n}{2h^2}$$

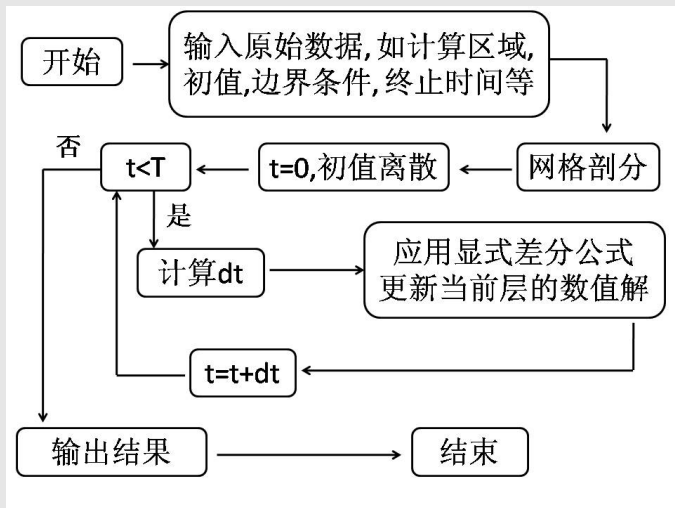
或

$$\begin{cases} \frac{u_j^{n+1} - u_j^n}{\tau} + a_j \frac{u_{j+1}^n - u_{j-1}^n}{2h} = \frac{h}{2} a_j \frac{u_{j+1}^n - 2u_j^n + u_{j-1}^n}{2h^2}, & a \geq 0 \\ \frac{u_{j+1}^{n+1} - u_{j+1}^n}{\tau} + a_j \frac{u_{j+1}^n - u_{j-1}^n}{2h} = -\frac{h}{2} a_j \frac{u_{j+1}^n - 2u_j^n + u_{j-1}^n}{2h^2}, & a < 0 \end{cases}$$

考虑如下混合问题差分离散的算法实现,

$$\begin{cases} \frac{\partial u}{\partial t} + a \frac{\partial u}{\partial x} = 0, & 0 < x < \infty, \quad t > 0 \\ u(x, 0) = u_0(x), & u(0, t) = \phi(t) \end{cases}$$

显式算法流程



算例：利用有限差分法去求解混合问题的解

$$\begin{cases} \frac{\partial u}{\partial t} + \frac{\partial u}{\partial x} = 0, & 0 < x < 2, \quad t > 0 \\ u(x, 0) = |x - 1|, & u(0, t) = 1 \end{cases}$$

其真解为(见前面的例 1)

$$u(x, t) = \begin{cases} 1, & x \leq t, \quad t \geq 0 \\ 1 - x + t, & t < x \leq t + 1, \quad t \geq 0 \\ x - t - 1, & x > t + 1, \quad t \geq 0 \end{cases}$$

该模型的 Matlab 代码实现如下：

```
function pde = model_data()
% MODEL_DATA 模型数据

TI = 0;
TF = 1;
SI = 0;
SF = 2;
pde = struct('u_exact',@u_exact,'u_initial',@u_initial,...
    'u_left',@u_left,'time_grid',@time_grid,'space_grid',
    @space_grid,'a',1);

function [T,tau] = time_grid(NT)
    T = linspace(TI,TF,NT+1);
    tau = (TF - TI)/NT;
end
function [X,h] = space_grid(NS)
    X = linspace(SI,SF,NS+1)';
    h = (SF - SI)/NS;
end
function U = u_exact(X,T)
    [x,t] = meshgrid(X,T);
    U = zeros(size(x));
    case1 = (x <= t);
    case2 = (x > t+1);
```

```
case3 = ~case1 & ~case2;  
U(case1) = 1;  
U(case3) = 1-x(case3)+t(case3);  
U(case2) = x(case2) - t(case2) -1;  
U = U';  
end  
function u = u_initial(x)  
    u = abs(x-1);  
end  
  
function u = u_left(t)  
    u = ones(size(t));  
end  
  
end
```

显隐迎风格的 Matlab 实现

```

function [X,T,U] = advection_fd1d(NS,NT,pde,method)
%% WAVE_EQUATION_FD1D 利用有限差分方法计算一维双曲方程
%
% 输入参数:
%     NS 整型, 空间剖分段数.
%     NT 整型, 时间剖分段数.
%     pde 结构体, 待求解的微分方程模型的已知数据,
%         如边界、初始、系数和右端项等条件.
%     method 字符串, 代表求解所用格式
%         'explicit' 或 'e' 或 'E' : 显式迎风格式
%         'implicit' 或 'i' 或 'I' : 隐式迎风格式
%         'explicit center' 或 'ec' 或 'EC' : 显式中心格式
%         'implicit center' 或 'ic' 或 'IC' : 隐式中心格式
%         'leap frog' 或 'lf' 或 'LF' : 跳蛙格式
% 输出参数:
%     X 长度为 NS+1 的列向量, 空间网格剖分
%     T 长度为 NT+1 的行向量, 时间网格剖分
%     U (NS+1)*(NT+1) 矩阵, U(:,i) 表示第 i 个时间层网格部分上的数值解
%
% 作者: 魏华祎 <weihuayi@xtu.edu.cn>

```

显隐迎风格的 Matlab 实现 ||

```
[X,h] = pde.space_grid(NS);
[T,tau] = pde.time_grid(NT);
N = length(X);M = length(T);

U = zeros(N,M);
% 初值条件
U(:,1) = pde.u_initial(X);
a = pde.a;
r = a*tau/h;
% 边值条件
if a >= 0 % 左边值条件
    U(1,:) = pde.u_left(T);
else
    U(end,:) = pde.u_right(T); %右边值条件
end

%%
```

显隐迎风格的 Matlab 实现

```

switch(method)
    case {'explicit','e','E'}
        explicit();
    case {'implicit','i','I'}
        implicit();
    case {'explicit_center','ec','EC'}
        explicit_center();
    case {'implicit_center','ic','IC'}
        implicit_center();
    case {'leap_frog','lf','LF'}
        leap_frog();
    otherwise
        disp(['Sorry, I do not know your ', method]);
end

function explicit()
    for i = 2:M
        if a > 0
            U(2:end,i) = U(2:end,i-1) - r*(U(2:end,i-1) - U(1:
end-1,i-1));
        else

```


显隐迎风格的 Matlab 实现 IV

```
        U(1:end-1,i) = U(1:end-1,i-1) - r*(U(2:end,i-1) -  
U(1:end-1,i-1));  
    end  
end  
end  
  
function implicit()  
    if a > 0  
        d = (1+r)*ones(N-1,1);  
        c = -r*ones(N-2,1);  
        A = diag(d) + diag(c,-1);  
        for i = 2:M  
            F = zeros(N-1,1);  
            F(1) = r*U(1,i);  
            U(2:end,i) = A\ (U(2:end,i-1)+F);  
        end  
    else  
        d = (1-r)*ones(N-1,1);  
        c = r*ones(N-2,1);  
        A = diag(d) + diag(c,1);  
        for i = 2:M
```

显隐迎风格的 Matlab 实现 V

```
F = zeros(N-1,1);  
F(end) = -r*U(end,i);  
U(1:end-1,i) = A\ (U(1:end-1,i-1)+F);  
    end  
end  
function explicit_center()  
  
end  
function implicit_center()  
  
end  
function leap_frog()  
  
end  
  
end
```

主测试脚本

```
%% 一维双曲方程有限差分方法主测试脚本 main_test.m
% 依次测试：
%     显格式
%     隐格式
% 并可视化数值计算结果。
%
% 作者：魏华祎 <weihuayi@xtu.edu.cn>

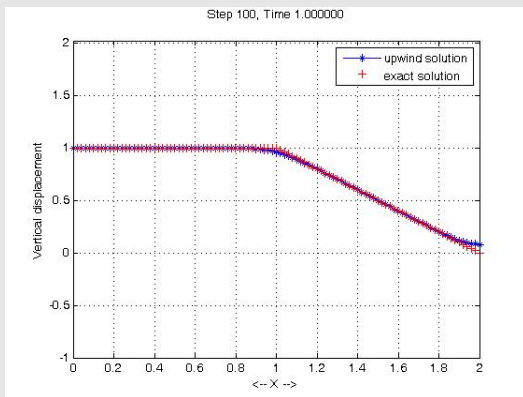
pde = model_data(); %模型数据结构体

% 显格式
[X,T,U] = advection_fd1d(100,200,pde,'explicit');
UE = pde.u_exact(X,T);
showvarsolution(X,T,U,UE);% 以随时间变化方式显示数值解
showsolution(X,T,U); % 以二元函数方式显示数值解

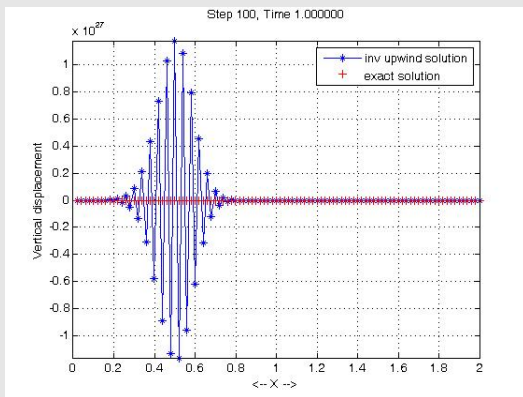
% 隐格式
[X,T,U] = advection_fd1d(100,200,pde,'implicit');
UE = pde.u_exact(X,T);
showvarsolution(X,T,U,UE);% 以随时间变化方式显示数值解
```

主测试脚本

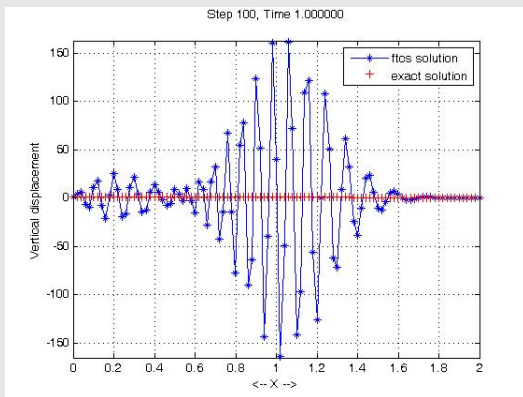
```
showsolution(X,T,U); % 以二元函数方式显示数值解
```



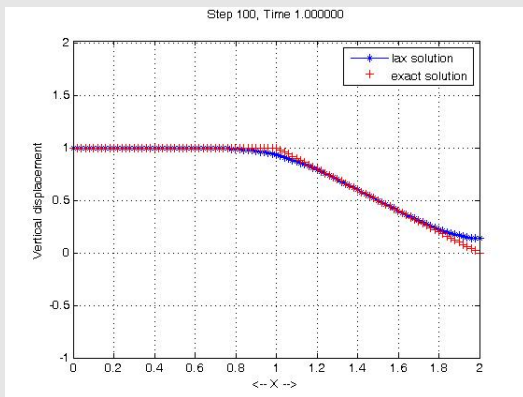
$$\frac{u_j^{n+1} - u_j^n}{\tau} + a \frac{u_j^n - u_{j-1}^n}{h} = 0$$



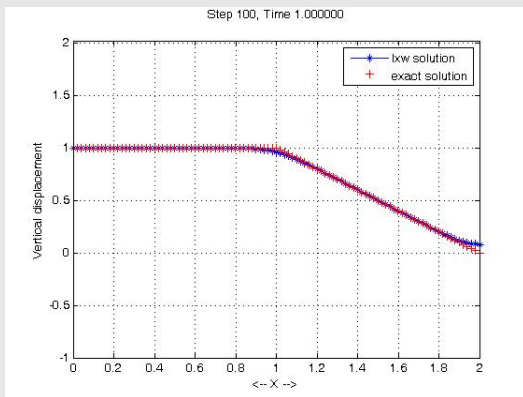
$$\frac{u_j^{n+1} - u_j^n}{\tau} + a \frac{u_{j+1}^n - u_j^n}{h} = 0$$



$$\frac{u_j^{n+1} - u_j^n}{\tau} + a \frac{u_{j+1}^n - u_{j-1}^n}{2h} = 0$$



$$\frac{u_j^{n+1} - \frac{1}{2}(u_{j+1}^n + u_{j-1}^n)}{\tau} + a \frac{u_{j+1}^n - u_{j-1}^n}{2h} = 0$$



$$\frac{u_j^{n+1} - u_j^n}{\tau} + a \frac{u_{j+1}^n - u_{j-1}^n}{2h} = \frac{h}{2} a \frac{u_{j+1}^n - 2u_j^n + u_{j-1}^n}{h^2}$$

稳定性分析

Fourier 分析: 将 $u_{j+m}^{n+q} = v_{n+q} e^{i\alpha(x_j+mh)}$ 代入 (见 (20))

$$u_j^{n+1} = ru_{j-1}^n + (1-r)u_j^n$$

可得

$$v_{n+1} e^{i\alpha x_j} = (re^{i\alpha(x_j-h)} + (1-r)e^{i\alpha x_j}) v_n$$

\Rightarrow

$$v_{n+1} = (re^{-i\alpha h} + (1-r))v_n$$

由此求得该格式的增長因子, 再由 Von Neumann 条件可知: 差分格式 (20) 稳定的充要条件是

$$|re^{-i\alpha h} + (1-r)| \leq 1 \Leftrightarrow |re^{-i\alpha h} + (1-r)|^2 \leq 1$$

\Leftrightarrow

$$|r(\cos \alpha h - 1) + 1 - ir \sin \alpha h|^2 \leq 1$$

 \Leftrightarrow

$$[r(\cos \alpha h - 1) + 1]^2 + r^2 \sin^2 \alpha h \leq 1$$

 \Leftrightarrow

$$r^2(\cos \alpha h - 1)^2 + 2r(\cos \alpha h - 1) + r^2 \sin^2 \alpha h \leq 0$$

 \Leftrightarrow

$$2r^2 - 2r^2 \cos \alpha h + 2r(\cos \alpha h - 1) \leq 0$$

 \Leftrightarrow

$$(r^2 - r)(1 - \cos \alpha h) \leq 0$$

 \Leftrightarrow

$$r^2 \leq r \Leftrightarrow a^2 \frac{\tau^2}{h^2} \leq a \frac{\tau}{h}$$

 \Leftrightarrow

$$a \geq 0, \quad |r| = a \frac{\tau}{h} \leq 1 \quad (29)$$

类似分析可知:

格式 (21) 稳定的充要条件是:

$$a \leq 0, \quad |r| = -a \frac{\tau}{h} \leq 1 \quad (30)$$

格式 (22) 对一切 $r \neq 0$ 均不稳定.

由此可得如下**结论**: 当 $a \geq 0$ 时只有 (20) 可用, 当 $a \leq 0$ 时只有 (21) 可用.

习题 1 导出格式 (21) 和格式 (22) 的稳定条件.

类似的，由 Fourier 分析可知：

Lax-Friedrichs 格式稳定性条件是：

$$|a| \frac{\tau}{h} \leq 1$$

Box 格式是无条件稳定的

Lax-wendroff 格式稳定性条件为

$$|a| \frac{\tau}{h} \leq 1.$$

下面对 $a \geq 0$ 的情形, 讨论稳定条件 (29) 与特征性质的关系.

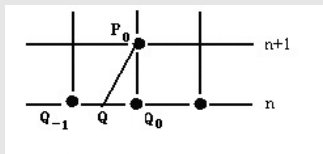
考察点 P_0 处的数值解 u_j^{n+1} , 它与第 n 个时间层上的第 j 和 $j \pm 1$ 个点处的值

$$u_j^n, \quad u_{j \pm 1}^n$$

有关.

$$|r| = a \frac{\tau}{h} \leq 1 \Leftrightarrow \text{特征线的斜率 } \frac{1}{a} \geq \frac{\tau}{h}$$

所以 Q 介于 Q_{-1} 到 Q_0 之间.



注意 $u(P_0) = u(Q)$, 所以点 P_0 处的数值解 u_j^{n+1} 用 u_{j-1}^n 和 u_j^n 作线性(内)插值是合适的, 即

$$\begin{aligned} u_j^{n+1} &= (u_{j-1}^n \cdot QQ_0 + u_j^n \cdot Q_{-1}Q)/h \\ &= (u_{j-1}^n \cdot a\tau + u_j^n \cdot (h - a\tau))/h \\ &= ru_{j-1}^n + (1 - r)u_j^n \end{aligned}$$

上式也就是 (20).

类似的也可对稳定条件 (30) 做同样的分析, 此时过 P_0 的特征偏右, 与 $t = t_n$ 的交点 Q 落在 Q_0 右侧. 容易验证利用线性 (内) 插可得出 u_j^{n+1} 满足 (21).

这说明差分格式 (20), (21) 与特征走向有关, 按照气体力学的含义 (a 表示气流速度), 称之为迎风格式.

用同样的思想可构造变系数方程

$$\frac{\partial u}{\partial t} + a(x) \frac{\partial u}{\partial x} = 0$$

的差分格式. 此时 a 可能变号, 因此相应的迎风格式为

$$\begin{cases} \frac{u_j^{n+1} - u_j^n}{\tau} + a_j \frac{u_j^n - u_{j-1}^n}{h} = 0, & a_j \geq 0 \\ \frac{u_j^{n+1} - u_j^n}{\tau} + a_j \frac{u_{j+1}^n - u_j^n}{h} = 0, & a_j < 0 \end{cases} \quad (31)$$

其中 $a_j = a(x_j)$.

习题 2 试求下列混合问题的解 (右边界条件)

$$\begin{cases} \frac{\partial u}{\partial t} - \frac{\partial u}{\partial x} = 0, & -\infty < x < 0, t > 0 \\ u(x, 0) = |x + 1| & u(0, t) = 1 \end{cases}$$